

Clase 01

Lunes, 1 de febrero de 2021

- Suscribirse a la página web:
<https://materias.df.uba.ar/f3a2021v/>

- Exámenes:

Primer Parcial	26/02
Segundo Parcial	17/03
Primer Recuperatorio	22/03
Segundo Recuperatorio	26/03

- Programa de la materia:

1. Electrostática en el vacío.
 2. Electrostática en medios materiales.
 3. Corriente eléctrica. Circuitos CC.
 4. Magnetostática.
 5. Inducción electromagnética.
 6. Circuitos CA.
- } 1er parcial
} 2do parcial

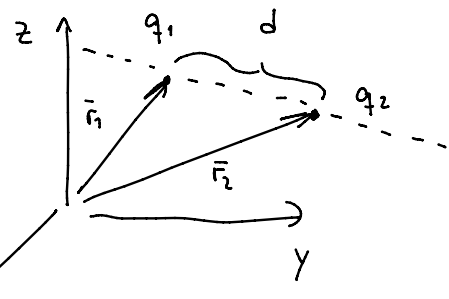
1. ELECTROSTÁTICA EN EL VACÍO

1.1. Carga eléctrica

$$q \xrightarrow{\text{positiva o negativa}} n e, n \in \mathbb{N}, e = 1,60 \times 10^{-19} \text{ C}$$

1.2. Interacción entre cargas puntuales

1.2.1. Ley de Coulomb



- \vec{F} actúa en la línea que une q_1 con q_2
- \vec{F} : $\begin{cases} \text{attractiva si } \operatorname{sgn}(q_1) \neq \operatorname{sgn}(q_2) \\ \text{repulsiva si } \operatorname{sgn}(q_1) = \operatorname{sgn}(q_2) \end{cases}$
- $|F| \sim \frac{1}{r^2}$

X ↗

1

$$\bullet |\vec{F}| \sim \frac{1}{d^2}$$

$$\vec{F}_{12} = K_e q_1 q_2 \frac{\vec{r}_1 - \vec{r}_2}{|\vec{r}_1 - \vec{r}_2|^3} \quad (\text{Ley de Coulomb})$$

- K_e es una constante que se determina experimentalmente. En el SI tiene unidades de $\text{N} \cdot \text{m}^2/\text{C}^2$. Es común escribir K_e en términos de ϵ_0 (permittividad del vacío). $\epsilon_0 = 8,85 \times 10^{-12} \text{C}^2/(\text{Nm}^2)$

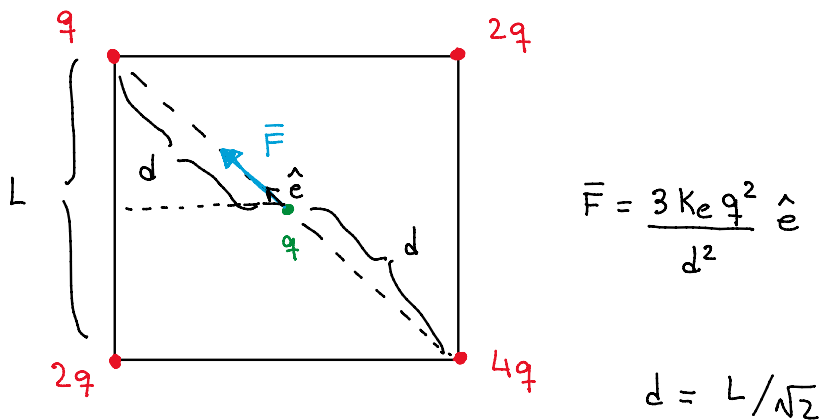
1.2.2. Principio de superposición

Si tenemos n cargas puntuales q_1, \dots, q_n , la fuerza total \vec{F}_1 sobre q_1 debida a la presencia de q_2, \dots, q_n está dada por:

$$\vec{F}_1 = \vec{F}_{12} + \vec{F}_{13} + \dots + \vec{F}_{1n}$$

↗ asociado a la linealidad de las leyes de Maxwell

Ejemplo (P01E03):



1.2.3. Campo eléctrico

Si en el ejemplo anterior la carga del centro hubiera sido q' , habríamos encontrado que:

$$\frac{\bar{F}'}{q'} = \frac{\bar{F}}{q} \quad \rightarrow \text{campo eléctrico } \bar{E}(\bar{r})$$

$\bar{F} = q_0 \bar{E}$ → fuerza que actúa sobre una carga de valor q_0 en presencia de una distribución de cargas que generan un campo eléctrico \bar{E} .

Ejemplo: en el ejemplo anterior, el campo eléctrico generado por las cuatro cargas rojas en el centro del cuadrado es

$$\bar{E}_{\text{centro}} = 3 \frac{K_C q}{d^2} \hat{e}$$

o la suma de los campos eléctricos individuales que generan las cargas en los vértices del cuadrado



Rate superposición para el campo eléctrico

$$\bar{E}(\bar{r}) = \bar{E}_1(\bar{r}) + \bar{E}_2(\bar{r}) + \dots + \bar{E}_n(\bar{r})$$

↑
campo generado

campo total generado por carga q_1
por la distribución q_2, \dots, q_n

campo total generado por carga q_i
por la distribución q_1, \dots, q_n

¿Cuál es el campo eléctrico $\bar{E}_i(\bar{r})$ que genera una
carga puntual q_i ubicada en \bar{r}_i ?

$$\bar{E}_i(\bar{r}) = K_e q_i \frac{\bar{r} - \bar{r}_i}{|\bar{r} - \bar{r}_i|^3}$$

1.3. Distribuciones continuas de carga

Campo eléctrico generado por n cargas q_i ubicadas en
posiciones \bar{r}_i es

$$\bar{E}(\bar{r}) = \sum_{i=1}^n K_e q_i \frac{\bar{r} - \bar{r}_i}{|\bar{r} - \bar{r}_i|^3}$$

En muchas situaciones, es relevante considerar distribuciones
continuas de carga (una barra de vidrio cargada por fricción,
capacitores, un generador de Van der Graaf, etc.).

$$\Delta q(\bar{F})$$

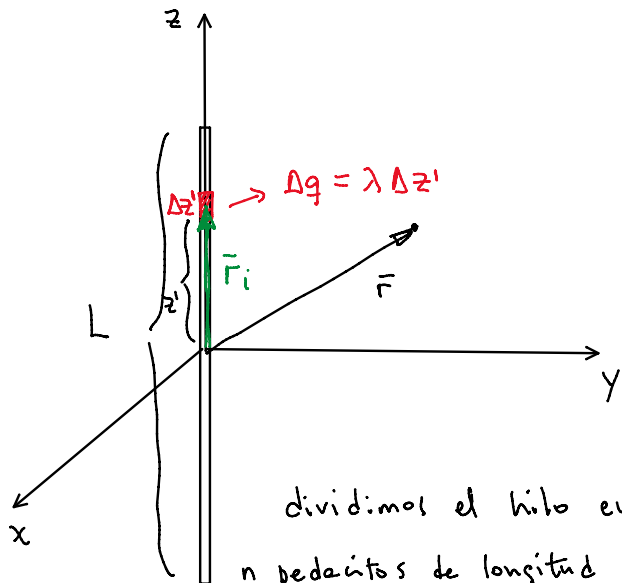
$$\underline{\Delta q(\bar{F})} = \rho(\bar{F})$$



$$\frac{\Delta q(\vec{r})}{\Delta V} = \rho(\vec{r})$$

↑ densidad
de carga

Ejemplo (polos):



$$\lambda \equiv \frac{Q}{L} \quad (\text{densidad lineal de carga})$$

punto de observación punto fuente

$$\bar{E}(\vec{r}) = \sum_{i=1}^n K_e \Delta q_i \frac{\vec{r} - \vec{r}_i}{|\vec{r} - \vec{r}_i|^3}$$

$$\vec{r}_i = z' \hat{e}_z$$

Δq_i : carga contenida en el hilo entre z' y $z' + \Delta z'$

$$\Delta q_i = \lambda \Delta z'$$

$$\bar{E}(\vec{r}) = \sum_{i=1}^n K_e \lambda \Delta z' \cdot \frac{\vec{r} - z' \hat{e}_z}{|\vec{r} - z' \hat{e}_z|^3}$$

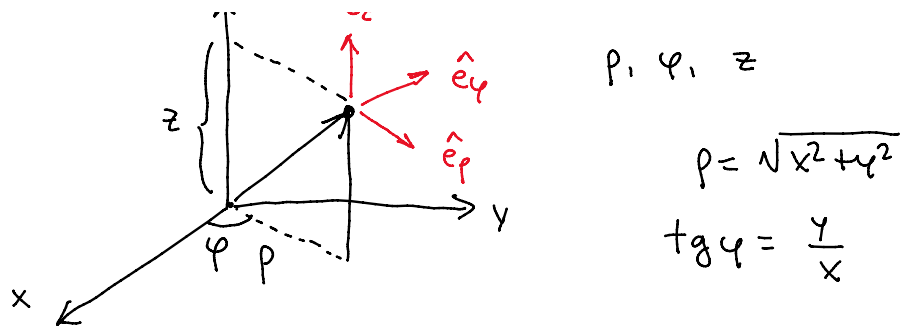
Tomando límite $n \rightarrow \infty$ ($\Delta z' \rightarrow 0$):

$$\bar{E}(\vec{r}) \rightarrow \int_{-L/2}^{L/2} dz' K_e \lambda \cdot \frac{\vec{r} - z' \hat{e}_z}{|\vec{r} - z' \hat{e}_z|^3}$$

$\sim \circ \sim$

Para comenzar a familiarizarnos con distintos sistemas de coordenadas utilizaremos coordenadas cilíndricas





$$\bar{E}(\vec{r}) = E_\rho(\rho, \varphi, z) \hat{e}_\rho + E_\varphi(\rho, \varphi, z) \hat{e}_\varphi + E_z(\rho, \varphi, z) \hat{e}_z$$

$\sim \sim \sim \sim \sim$

$$\vec{F} = \rho \hat{e}_\rho + z \hat{e}_z$$

$\rho = \sqrt{x^2 + y^2}$

$$\bar{E}(\rho, \varphi, z) = K_e \lambda \int_{-L/2}^{L/2} dz' \frac{\rho \hat{e}_\rho + z \hat{e}_z - z' \hat{e}_z}{|\rho \hat{e}_\rho + z \hat{e}_z - z' \hat{e}_z|^3} =$$

$$= K_e \lambda \int_{-L/2}^{L/2} dz' \frac{\rho \hat{e}_\rho + (z - z') \hat{e}_z}{|\rho \hat{e}_\rho + (z - z') \hat{e}_z|^3} \rightarrow E_\varphi(\rho, \varphi, z) = 0$$

$$E_\rho(\rho, \varphi, z) = K_e \lambda \int_{-L/2}^{L/2} dz' \cdot \frac{\rho}{[\rho^2 + (z - z')^2]^{3/2}} =$$

$$= \frac{K_e \lambda}{\rho} \left[\frac{L - 2z}{\sqrt{(L - 2z)^2 + 4\rho^2}} + \frac{L + 2z}{\sqrt{(L + 2z)^2 + 4\rho^2}} \right]$$

$$E_z(\rho, \varphi, z) = K_e \lambda \int_{-L/2}^{L/2} dz' \cdot \frac{z - z'}{[\rho^2 + (z - z')^2]^{3/2}} =$$

$$= 2Ke\lambda \left[\frac{1}{\sqrt{(L-2z)^2 + 4\rho^2}} - \frac{1}{\sqrt{(L+2z)^2 + 4\rho^2}} \right]$$

$$\bar{E}(\rho, \varphi, z) = \underbrace{E_\rho(\rho, \varphi, z)}_{\text{no depende}} \hat{e}_\rho + \underbrace{E_z(\rho, \varphi, z)}_{\substack{\text{de } \varphi \text{ (asociado a simetría)} \\ \text{de rotación alrededor del eje } z}} \hat{e}_z$$

$$\begin{aligned}\hat{e}_\rho(\varphi) &= \\ &= \cos\varphi \hat{e}_x + \sin\varphi \hat{e}_y\end{aligned}$$

: límite $L \rightarrow \infty$?

$$E_\rho(\rho, \varphi, z) \xrightarrow{(L \rightarrow \infty)} \frac{2Ke\lambda}{\rho}$$

$$E_z(\rho, \varphi, z) \xrightarrow{(L \rightarrow \infty)} 0$$

$$\bar{E}(\rho, \varphi, z) = \frac{2Ke\lambda}{\rho} \hat{e}_\rho$$

desaparece la componente E_z
y $\frac{\partial E_\rho}{\partial z} = 0$.

1.3.1. Campos eléctricos generados por distribuciones continuas de carga

- Densidad de carga lineal

Carga en:
 $C = \{(x, y, z); x = x(s), y = y(s), z = z(s), s \in I \subset \mathbb{R}\}$

$\lambda(s) \rightarrow$ densidad de carga lineal

$$\bar{E}(F) = Ke \int_C dl'(s) \lambda(s) \frac{F - \bar{r}'(s)}{|F - \bar{r}'(s)|^3}$$

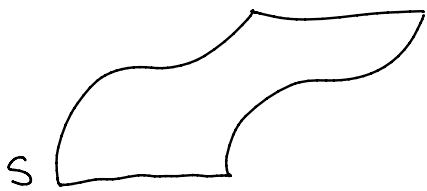
$$= 1 \dots \nu(s) \hat{i} \dots \nu(s) \hat{o} \dots + 2(s) \hat{p}$$

C

$$\bar{F}'(s) = x(s)\hat{e}_x + y(s)\hat{e}_y + z(s)\hat{e}_z$$

- Densidad de carga superficial

Carga distribuida en:



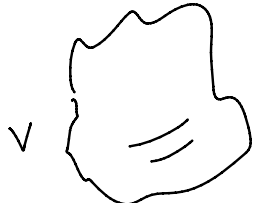
$$S = \{(x, y, z) : x = x(u, v), y = y(u, v), z = z(u, v), \\ \text{con } (u, v) \in U \subseteq \mathbb{R}^2\}$$

$\sigma(u, v)$: densidad de carga superficial

$$\bar{E}(\bar{r}) \approx K_e \int_S dS(u, v) \sigma(u, v) \frac{\bar{r} - \bar{r}'(u, v)}{|\bar{r} - \bar{r}'(u, v)|^3}$$

- Densidad de carga volumétrica

Carga distribuida en volumen:



$$V = \{(x, y, z) \in \mathbb{R} : x = x(u, v, w), y = y(u, v, w), z = z(u, v, w), \\ (u, v, w) \in U \subseteq \mathbb{R}^3\}$$

Ejemplo: descripción de una esfera

$x = r \cos \varphi \sin \theta$ $y = r \sin \varphi \sin \theta$ $z = r \cos \theta$	$r \in [0, R]$ $\varphi \in [0, 2\pi]$ $\theta \in [0, \pi]$
---	--

$\rho(u, v, w)$: densidad de carga por unidad de volumen

$$\bar{r}_{\text{ext}} \approx \int_{\text{vol}} \rho(u, v, w) \frac{\bar{r} - \bar{r}'(u, v, w)}{|\bar{r} - \bar{r}'(u, v, w)|} dV$$

$$\bar{E}(\vec{r}) = k_e \int_V dV(u, v, w) \rho(u, v, w) \frac{\vec{r} - \vec{r}'(u, v, w)}{|\vec{r} - \vec{r}'(u, v, w)|^3}$$